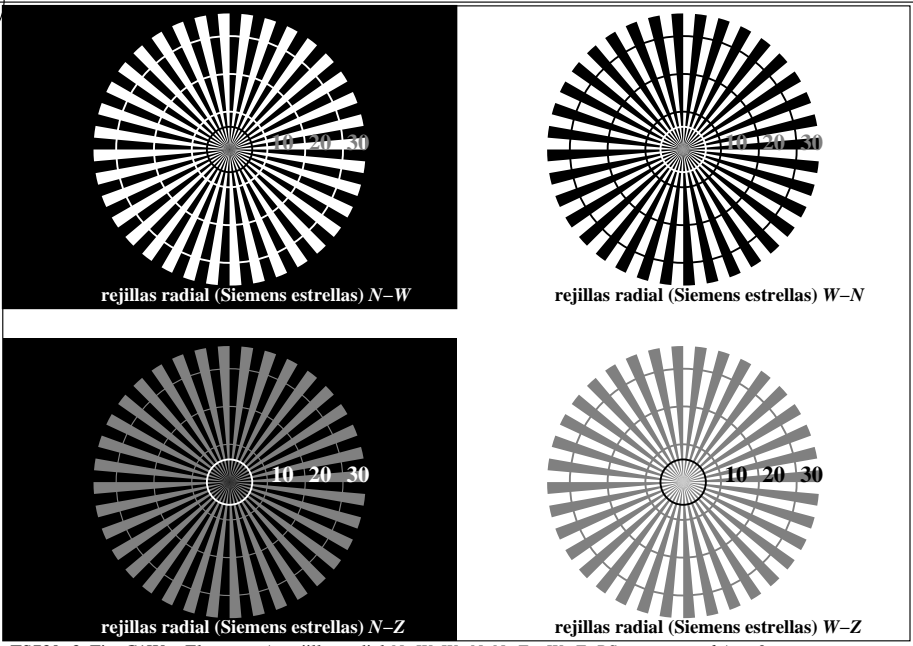


vea archivos semejantes: <http://130.149.60.45/~farbmetrik/TS73/TS73.HTM>
información técnica: <http://www.ps.bam.de> o <http://130.149.60.45/~farbmetrik>

TUB matrícula: 20150901-TS73/TS73LOFP.PDF /.PS
aplicación para la medida salida en la impresión offset

TUB material: code=rh4ta



TS730-3, Fig. C1W-: Elemento A: rejillas radial N-W, W-N, N-Z y W-Z; PS operator: rgb/cmy0

$L^*/Y_{pretenden}$ 18.0/18.0 37.3/37.3 56.7/56.7 76.1/76.0 95.4/95.4 N_0 (min.) W_I (max.)

(absoluta)

$w^* = l^*_{CIE_{LAB}, r}$ (relativa)

$w^*_{entrada}$ 0,000 0,250 0,500 0,750 1,000 N_0 (min.) W_I (max.)

w^*_{salida}

TS730-5, Fig. C2W-: Elemento B: 5 equidistante L^* pasos de gris + N_0 + W_I ; PS operator: rgb/cmy0

$L^*/Y_{pretenden}$ 18.0/18.0 23.2/23.2 28.3/28.3 33.5/33.5 38.6/38.6 43.8/43.8 49.0/49.0 54.1/54.1 59.3/59.3 64.4/64.4 69.6/69.6 74.8/74.8 79.9/79.9 85.1/85.1 90.2/90.2 95.4/95.4

(absoluta)

NO y código Hex 00;F 01;E 02;D 03;C 04;B 05;A 06;9 07;8 08;7 09;6 10;5 11;4 12;3 13;2 14;1 15;0

$w^* = l^*_{CIE_{LAB}, r}$ (relativa)

$w^*_{entrada}$ 0,000 0,067 0,133 0,200 0,267 0,333 0,400 0,467 0,533 0,600 0,667 0,733 0,800 0,867 0,933 1,000

w^*_{salida}

TS730-7, Fig. C3W-: Elemento C: 16 equidistante L^* pasos de gris; PS operator: rgb/cmy0

gráfico TS73; ME16(ISO 9241-306), 3(ISO/IEC 15775)

test acromático gráfico N

entrada: rgb/cmyk -> rgb/cmyk
salida: ningún cambio

paso fondo 0 1 paso del anillo 0-1
Código Hexadecimal 7 8 Código Hexadecimal 7-8

E F E-F
2 0 2-0
8 6 8-6
F D F-D

anillos de Landolt W-N código: fondo-paso del anillo

TS731-1, Fig. C4W-: Elemento D: anillos de Landolt W-N; PS operator: rgb/cmy0

| | | | | | | | | | | | | | | | | | |
|----------|-----|-----|-----|-----|-----|-----|-----|-----|-----|-----|-----|-----|-----|-----|-----|-----|--|
| | 120 | 128 | 136 | 144 | 152 | 160 | 168 | 176 | 184 | 192 | 200 | 208 | 216 | 224 | 232 | 240 | |
| 120 (+8) | | | | | | | | | | | | | | | | 240 | |
| 60 (+4) | | | | | | | | | | | | | | | | 120 | |
| 30 (+2) | | | | | | | | | | | | | | | | 60 | |
| 15 (+1) | | | | | | | | | | | | | | | | 30 | |
| | 15 | 16 | 17 | 18 | 19 | 20 | 21 | 22 | 23 | 24 | 25 | 26 | 27 | 28 | 29 | 30 | |

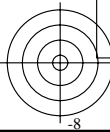
de diámetro ráster in lpi

TS731-3, Fig. C5W-: Elemento E: Trama línea menores de 45° (o 135°) grados; PS operator: rgb/cmy0

| | | | | | | | | | | | | | | | | | |
|----------|-----|-----|-----|-----|-----|-----|-----|-----|-----|-----|-----|-----|-----|-----|-----|-----|--|
| | 120 | 128 | 136 | 144 | 152 | 160 | 168 | 176 | 184 | 192 | 200 | 208 | 216 | 224 | 232 | 240 | |
| 120 (+8) | | | | | | | | | | | | | | | | 240 | |
| 60 (+4) | | | | | | | | | | | | | | | | 120 | |
| 30 (+2) | | | | | | | | | | | | | | | | 60 | |
| 15 (+1) | | | | | | | | | | | | | | | | 30 | |
| | 15 | 16 | 17 | 18 | 19 | 20 | 21 | 22 | 23 | 24 | 25 | 26 | 27 | 28 | 29 | 30 | |

de diámetro ráster in lpi

TS731-5, Fig. C6W-: Elemento F: Trama línea menores de 90° (o 0°) grados; PS operator: rgb/cmy0

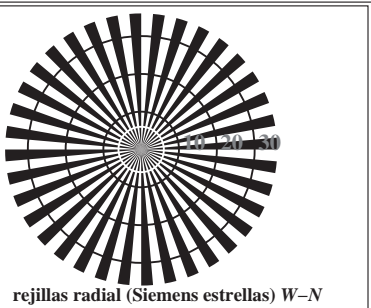


vea archivos semejantes: <http://130.149.60.45/~farbmetrik/TS73/TS73L0FP.PDF> / .PS
información técnica: <http://www.ps.bam.de> o <http://130.149.60.45/~farbmetrik>

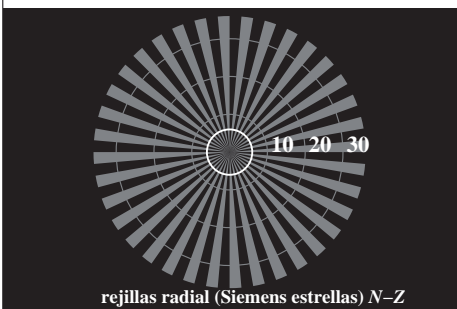
TUB matrícula: 20150901-TS73/TS73L0FP.PDF /.PS
aplicación para la medida salida en la impresión offset, separación cmyk* (CMYK)
TUB material: code=rh4tra



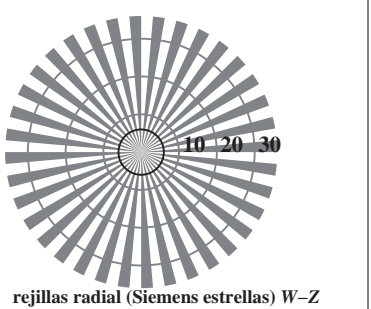
rejillas radial (Siemens estrellas) N-W



rejillas radial (Siemens estrellas) W-N



rejillas radial (Siemens estrellas) N-Z



rejillas radial (Siemens estrellas) W-Z

TS730-3, Fig. C1Wdd: Elemento A: rejillas radial N-W, W-N, N-Z y W-Z; PS operator: *rgb/cmy0*

| | | | | | | | |
|-------------------------|-----------|-----------|-----------|-----------|-----------|--------------|--------------|
| $L^*/Y_{pretenden}$ | 18.0/18.0 | 37.3/37.3 | 56.7/56.7 | 76.1/76.0 | 95.4/95.4 | N_0 (min.) | W_I (max.) |
| (absoluta) | | | | | | | |
| $w^* = l^*_{CIELAB, r}$ | | | | | | | |
| (relativa) | | | | | | | |
| $w^*_{entrada}$ | 0,000 | 0,250 | 0,500 | 0,750 | 1,000 | N_0 (min.) | W_I (max.) |
| w^*_{salida} | | | | | | | |

TS730-5, Fig. C2Wdd: Elemento B: 5 equidistante L^* pasos de gris + N_0 + W_I ; PS operator: *rgb/cmy0*

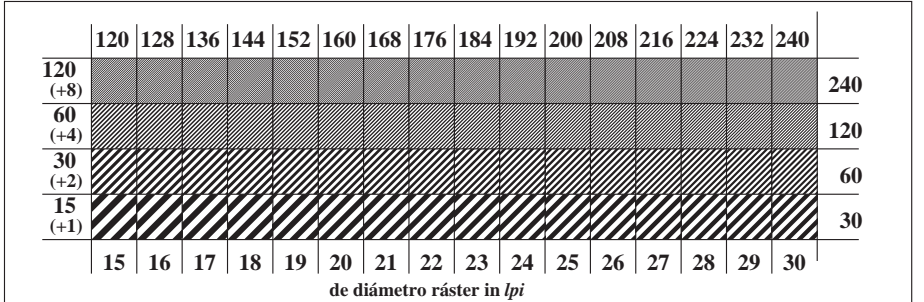
| | | | | | | | | | | | | | | | | |
|-------------------------|-----------|-----------|-----------|-----------|-----------|-----------|-----------|-----------|-----------|-----------|-----------|-----------|-----------|-----------|-----------|-----------|
| $L^*/Y_{pretenden}$ | 18.0/18.0 | 23.2/23.2 | 28.3/28.3 | 33.5/33.5 | 38.6/38.6 | 43.8/43.8 | 49.0/49.0 | 54.1/54.1 | 59.3/59.3 | 64.4/64.4 | 69.6/69.6 | 74.8/74.8 | 79.9/79.9 | 85.1/85.1 | 90.2/90.2 | 95.4/95.4 |
| (absoluta) | | | | | | | | | | | | | | | | |
| NO y código Hex | 00;F | 01;E | 02;D | 03;C | 04;B | 05;A | 06;9 | 07;8 | 08;7 | 09;6 | 10;5 | 11;4 | 12;3 | 13;2 | 14;1 | 15;0 |
| $w^* = l^*_{CIELAB, r}$ | | | | | | | | | | | | | | | | |
| (relativa) | | | | | | | | | | | | | | | | |
| $w^*_{entrada}$ | 0,000 | 0,067 | 0,133 | 0,200 | 0,267 | 0,333 | 0,400 | 0,467 | 0,533 | 0,600 | 0,667 | 0,733 | 0,800 | 0,867 | 0,933 | 1,000 |
| w^*_{salida} | | | | | | | | | | | | | | | | |

TS730-7, Fig. C3Wdd: Elemento C: 16 equidistante L^* pasos de gris; PS operator: *rgb/cmy0*

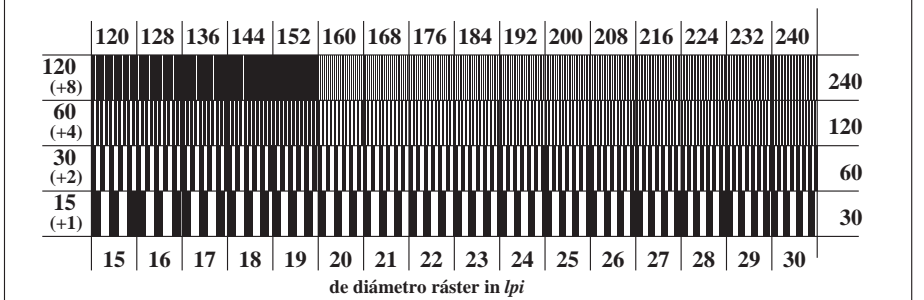
gráfico TS73; ME16(ISO 9241-306), 3(ISO/IEC 15775)
test acromático gráfico N, 3D=1, de=0, *cmyk**

| | | | | | |
|---------------------------|---|---|---|---------------------------|-----|
| <i>paso fondo</i> | 0 | | 1 | <i>paso del anillo</i> | 0-1 |
| <i>Código Hexadecimal</i> | 7 | | 8 | <i>Código Hexadecimal</i> | 7-8 |
| E | | F | E | <i>Código Hexadecimal</i> | E-F |
| 2 | | 0 | 0 | <i>Código Hexadecimal</i> | 2-0 |
| 8 | | 6 | 6 | <i>Código Hexadecimal</i> | 8-6 |
| F | | D | D | <i>Código Hexadecimal</i> | F-D |

TS731-1, Fig. C4Wdd: Elemento D: anillos de Landolt W-N; PS operator: *rgb/cmy0*



TS731-3, Fig. C5Wdd: Elemento E: Trama línea menores de 45° (o 135°) grados; PS operator: *rgb/cmy0*



TS731-5, Fig. C6Wdd: Elemento F: Trama línea menores de 90° (o 0°) grados; PS operator: *rgb/cmy0*

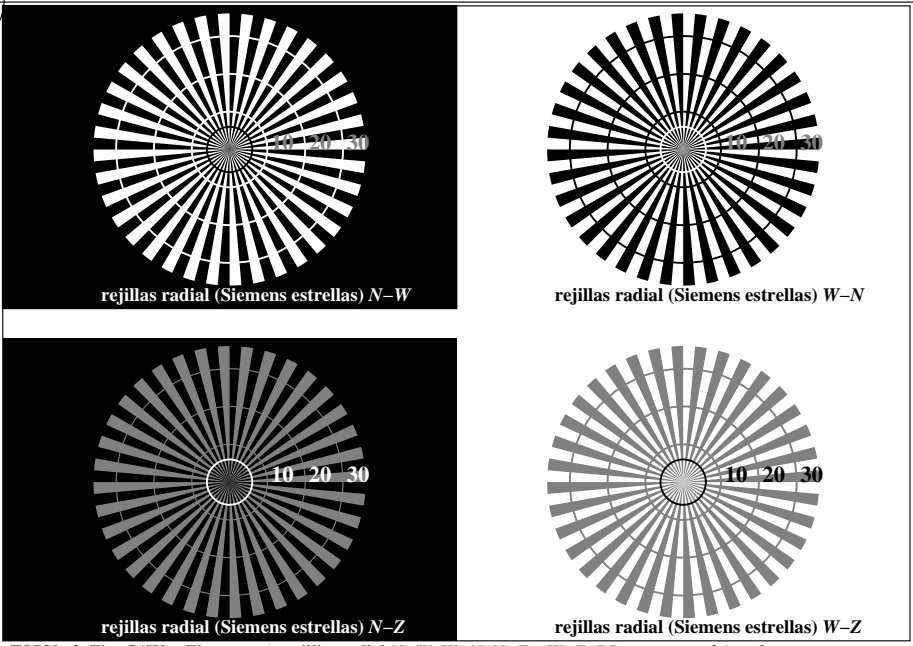
entrada: *rgb/cmyk* -> *rgb_{dd}*
salida: 3D-linealización a *cmyk*_{dd}*



vea archivos semejantes: <http://130.149.60.45/~farbmetrik/TS73/TS73.HTM>
información técnica: <http://www.ps.bam.de> o <http://130.149.60.45/~farbmetrik>

TUB matrícula: 20150901-TS73/TS73LOFP.PDF /.PS
aplicación para la medida salida en la impresión offset

TUB material: code=rh4ta



TS730-3, Fig. C1W-: Elemento A: rejillas radial N-W, W-N, N-Z y W-Z; PS operator: rgb/cmy0

| | | | | | | | |
|--------------------------|-----------|-----------|-----------|-----------|-----------|--------------|--------------|
| $L^*/Y_{pretenden}$ | 18.0/18.0 | 37.3/37.3 | 56.7/56.7 | 76.1/76.0 | 95.4/95.4 | N_0 (min.) | W_I (max.) |
| (absoluta) | | | | | | | |
| $w^* = l^*_{CIE LAB, r}$ | | | | | | | |
| (relativa) | | | | | | | |
| $w^*_{entrada}$ | 0,000 | 0,250 | 0,500 | 0,750 | 1,000 | N_0 (min.) | W_I (max.) |
| w^*_{salida} | | | | | | | |

TS730-5, Fig. C2W-: Elemento B: 5 equidistante L^* pasos de gris + N_0 + W_I ; PS operator: rgb/cmy0

| | | | | | | | | | | | | | | | | |
|--------------------------|-----------|-----------|-----------|-----------|-----------|-----------|-----------|-----------|-----------|-----------|-----------|-----------|-----------|-----------|-----------|-----------|
| $L^*/Y_{pretenden}$ | 18.0/18.0 | 23.2/23.2 | 28.3/28.3 | 33.5/33.5 | 38.6/38.6 | 43.8/43.8 | 49.0/49.0 | 54.1/54.1 | 59.3/59.3 | 64.4/64.4 | 69.6/69.6 | 74.8/74.8 | 79.9/79.9 | 85.1/85.1 | 90.2/90.2 | 95.4/95.4 |
| (absoluta) | | | | | | | | | | | | | | | | |
| NO y código Hex | 00;F | 01;E | 02;D | 03;C | 04;B | 05;A | 06;9 | 07;8 | 08;7 | 09;6 | 10;5 | 11;4 | 12;3 | 13;2 | 14;1 | 15;0 |
| $w^* = l^*_{CIE LAB, r}$ | | | | | | | | | | | | | | | | |
| (relativa) | | | | | | | | | | | | | | | | |
| $w^*_{entrada}$ | 0,000 | 0,067 | 0,133 | 0,200 | 0,267 | 0,333 | 0,400 | 0,467 | 0,533 | 0,600 | 0,667 | 0,733 | 0,800 | 0,867 | 0,933 | 1,000 |
| w^*_{salida} | | | | | | | | | | | | | | | | |

TS730-7, Fig. C3W-: Elemento C: 16 equidistante L^* pasos de gris; PS operator: rgb/cmy0

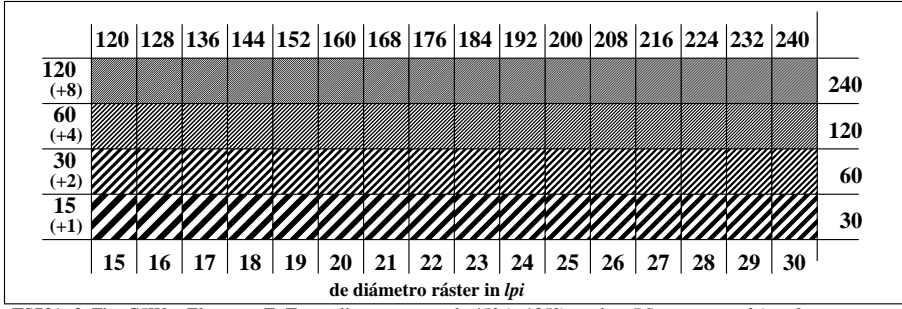
gráfico TS73; ME16(ISO 9241-306), 3(ISO/IEC 15775) test acromático gráfico N

entrada: rgb/cmyk -> rgb/cmyk
salida: ningún cambio

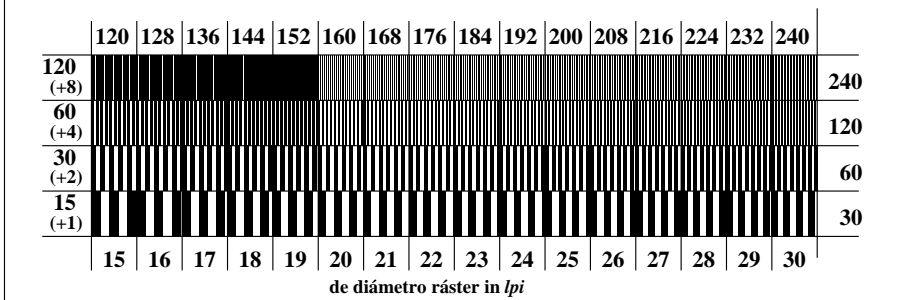
| | | | | |
|--------------------|---|---|--------------------|-----|
| paso fondo | 0 | 1 | paso del anillo | 0-1 |
| Código Hexadecimal | 7 | 8 | Código Hexadecimal | 7-8 |
| E | | F | E-F | |
| 2 | | 0 | 2-0 | |
| 8 | | 6 | 8-6 | |
| F | | D | F-D | |

anillos de Landolt W-N código: fondo-paso del anillo

TS731-1, Fig. C4W-: Elemento D: anillos de Landolt W-N; PS operator: rgb/cmy0



TS731-3, Fig. C5W-: Elemento E: Trama línea menores de 45° (o 135°) grados; PS operator: rgb/cmy0

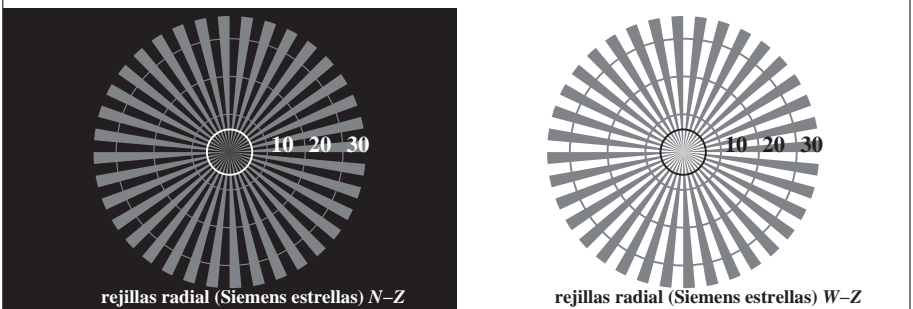
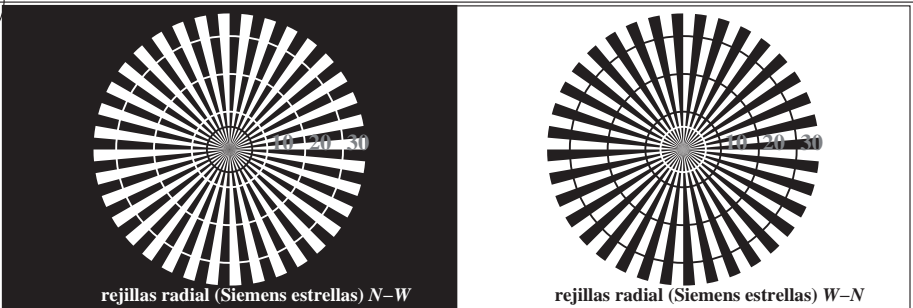


TS731-5, Fig. C6W-: Elemento F: Trama línea menores de 90° (o 0°) grados; PS operator: rgb/cmy0



vea archivos semejantes: <http://130.149.60.45/~farbmetrik/TS73/TS73.HTM>
información técnica: <http://www.ps.bam.de> o <http://130.149.60.45/~farbmetrik>

TUB matrícula: 20150901-TS73/TS73L0FP.PDF /.PS
aplicación para la medida salida en la impresión offset, separación cmyk* (CMYK)
TUB material: code=rh4ta



TS730-3, Fig. C1Wde: Elemento A: rejillas radial N-W, W-N, N-Z y W-Z; PS operator: rgb/cmy0

$L^*/Y_{pretenden}$ 18.0/18.0 37.3/37.3 56.7/56.7 76.1/76.0 95.4/95.4 N_0 (min.) W_I (max.)

(absoluta)

$w^* = l^*_{CIE_{LAB}, r}$ (relativa)

$w^*_{entrada}$ 0,000 0,250 0,500 0,750 1,000 N_0 (min.) W_I (max.)

w^*_{salida}

TS730-5, Fig. C2Wde: Elemento B: 5 equidistante L^* pasos de gris + N_0 + W_I ; PS operator: rgb/cmy0

$L^*/Y_{pretenden}$ 18.0/18.0 23.2/23.2 28.3/28.3 33.5/33.5 38.6/38.6 43.8/43.8 49.0/49.0 54.1/54.1 59.3/59.3 64.4/64.4 69.6/69.6 74.8/74.8 79.9/79.9 85.1/85.1 90.2/90.2 95.4/95.4

(absoluta)

NO y código Hex 00;F 01;E 02;D 03;C 04;B 05;A 06;9 07;8 08;7 09;6 10;5 11;4 12;3 13;2 14;1 15;0

$w^* = l^*_{CIE_{LAB}, r}$ (relativa)

$w^*_{entrada}$ 0,000 0,067 0,133 0,200 0,267 0,333 0,400 0,467 0,533 0,600 0,667 0,733 0,800 0,867 0,933 1,000

w^*_{salida}

TS730-7, Fig. C3Wde: Elemento C: 16 equidistante L^* pasos de gris; PS operator: rgb/cmy0

gráfico TS73; ME16(ISO 9241-306), 3(ISO/IEC 15775)
test acromático gráfico N, 3D=1, de=1, cmyk*

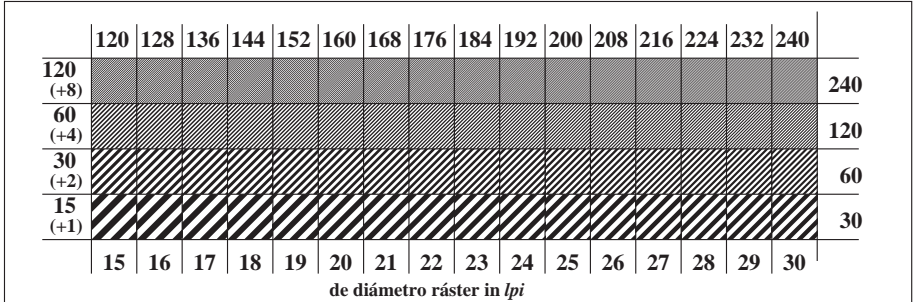
entrada: rgb/cmyk -> rgb_{de}
salida: 3D-linealización a $cmyk^*_{de}$

paso fondo 0 1 paso del anillo 0-1
Código Hexadecimal 7 8 Código Hexadecimal E-F

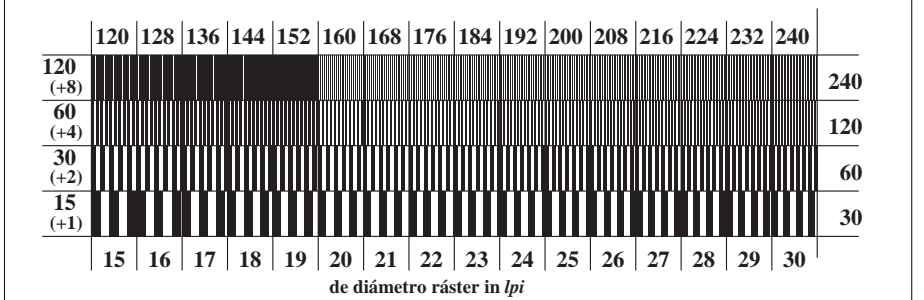
E 2 8 F 6 D

anillos de Landolt W-N código: fondo-paso del anillo

TS731-1, Fig. C4Wde: Elemento D: anillos de Landolt W-N; PS operator: rgb/cmy0



TS731-3, Fig. C5Wde: Elemento E: Trama línea menores de 45° (o 135°) grados; PS operator: rgb/cmy0



TS731-5, Fig. C6Wde: Elemento F: Trama línea menores de 90° (o 0°) grados; PS operator: rgb/cmy0

